

# Отложения на твэлах АЭС ВК-50

А. И. ЗАБЕЛИН, Б. В. ПШЕНИЧНИКОВ, Т. С. СВЯТЫШЕВА

УДК 621.039.524.4—97:621.03.955.336

Водо-водяной кипящий корпусной реактор ВК-50 представляет собой цилиндрический корпус со съемной крышкой. Наплавка корпуса и крышки выполнены из аустенитной стали 1Х18Н9Т. Рабочее давление в реакторе 70—100 кг/см<sup>2</sup>.

Топливный объем зоны, так называемая малая активная зона (МАЗ), состоит из 91 кассеты. Скорость естественной циркуляции теплоносителя в период нахождения в активной зоне рассматриваемой кассеты была равна 0,5 м/сек. Средняя энергонапряженность активной зоны составляла 36 кВт/л.

Характер отложений зависит от теплофизических и гидродинамических условий работы тепловыделяющих сборок и состава примесей теплоносителя. Последние, в свою очередь, являются функцией водно-химического режима и коррозионно-эррозионной стойкости конструкционных материалов. Площадь контакта конструкционных материалов с теплоносителем приведена ниже (% к общей площади):

Латунь (Л-68) . . . . .	52,1
Углеродистая сталь (Ст. 3, Ст. 20, Ст. 22к) . . . . .	39,1
Нержавеющие стали (1Х18Н9Т, 1Х13, 3Х13) . . . . .	5,6
Циркониевые сплавы . . . . .	3,2

Скорость коррозии и выход ее продуктов в теплоноситель зависят от качества теплоносителя (табл. 1). Продукты коррозии, переходя с поверхности корродирующих материалов в теплоноситель, активируются в активной зоне реактора и мигрируют в контуре.

В настоящей работе приведены некоторые результаты, полученные при изучении отложений на поверхности твэла, проработавшего в реакторе 155 эф. суток с начала эксплуатации. Время выдержки составило более 10 месяцев.

## Отбор и методика анализа проб

Визуальный осмотр поверхности твэла показал, что последний покрыт пленкой продуктов коррозии красно-бурового цвета. На расстоянии 1 м от верхней части твэла в местах нарушений верхней пленки виден белый налет.

Соскобленные с поверхности твэла пять проб представляли собой чешуйчатые образования,

трудно растворимые в кислотах даже при нагревании. Химический состав отложений определяли по стандартным физико-химическим методикам.

Кроме того, эти же образцы подвергались спектрометрическому анализу по  $\gamma$ -излучению. В качестве детектора использовался фотоумножитель ФЭУ-56 с кристаллом NaI(Tl) размером 70 × 70 мм. Импульсы с детектора усиливались серийным широкополосным усилителем типа УИС-2 и поступали на амплитудный импульсный многоканальный анализатор типа АИ-256. Спектры  $\gamma$ -излучения, получаемые на анализаторе, записывались на цифропечатающее устройство БЗ-15 и самопищий электронный потенциометр ЭПП-09.

Разрешение спектрометра на линии  $\gamma$ -излучения Cs<sup>137</sup> (0,661 МэВ) составляло 10 %. Питание ФЭУ-56 осуществлялось от серийного источника стабилизированного напряжения типа ВС-22. Флюктуации выходного напряжения от номинального значения при изменении напряжения питающей сети на 10 % составляли не более 0,01 %.

На  $\gamma$ -спектре, показанном на рис. 1, в области энергий больше 0,2 МэВ четко видны четыре пика: 0,511; 0,835; 1,120 и 1,330 МэВ. Указанные пики можно интерпретировать как фотопики от  $\gamma$ -квантов Mn<sup>54</sup> (0,834 МэВ), Zn<sup>65</sup> (1,120 МэВ) и Co<sup>60</sup> (1,330 МэВ), исключение составляет пик 0,511 МэВ. Последний является фотопиком аннигиляционного излучения позитронов, образующихся при распаде Zn<sup>65</sup>. Таким образом, гамма-спектрометрия проб позволила определить в отложениях присутствие радиоактивных изотопов Mn<sup>54</sup>, Zn<sup>65</sup> и Co<sup>60</sup>.

Основные показатели  
водно-химического режима

Таблица 1

Физико-химические показатели	Теплоноситель		
	питательная вода	вода реактора	пар реактора
Величина pH	8,3	9,5	—
Растворенный кислород, мг/кг	0,05	0,20	30,00
Сумма продуктов коррозии, мг/кг	0,50	1,00	0,05

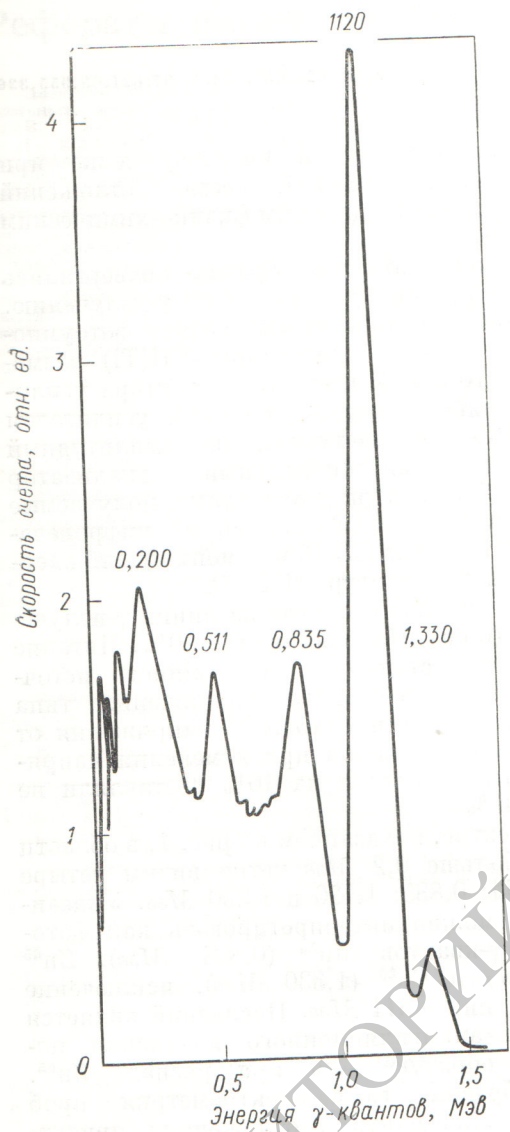
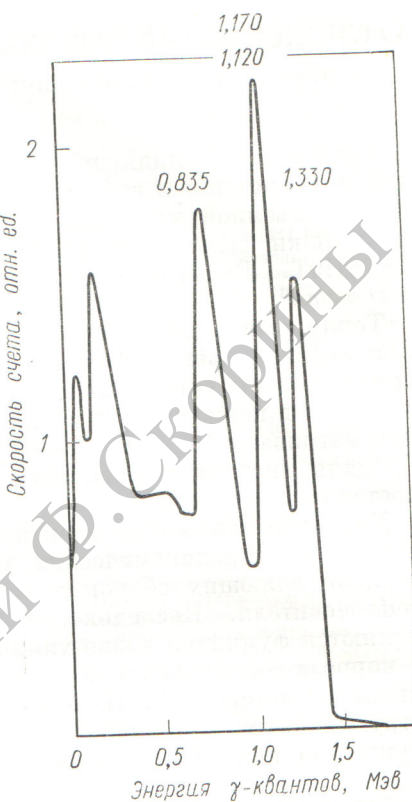


Рис. 1. Типичный  $\gamma$ -спектр отложений на твэле ВК-50.

В отложениях могли быть также изотопы  $\text{Na}^{22}$ ,  $\text{Fe}^{59}$ ,  $\text{Co}^{58}$ ,  $\text{Zr}^{95} + \text{Nb}^{95}$ . Однако фотопики от  $\gamma$ -квантов  $\text{Na}^{22}$  ( $1,277$  Мэв),  $\text{Fe}^{59}$  ( $1,289$  и  $1,098$  Мэв) и  $\text{Co}^{60}$  ( $1,170$  Мэв) лежат в области фотопика от  $\gamma$ -квантов  $\text{Zn}^{65}$  ( $1,120$  Мэв) фотопика от  $\gamma$ -квантов  $\text{Zn}^{65}$  ( $1,120$  Мэв) и  $\text{Co}^{60}$  ( $1,330$  Мэв). Максимум спектра комптоновских электронов от  $\gamma$ -квантов  $\text{Zn}^{65}$  и фотопики от  $\gamma$ -квантов  $\text{Co}^{58}$  ( $0,805$  и  $0,814$  Мэв) и  $\text{Zr}^{95} + \text{Nb}^{95}$  ( $0,756$ ;  $0,723$ ;  $0,768$  Мэв) находятся в области фотопика  $\text{Mn}^{54}$  ( $0,835$  Мэв). Для выяснения присутствия изотопов, фотопи-

Рис. 2. Спектр  $\gamma$ -излучения отложений на твэле ВК-50, обедненной цинком.



пики которых замаскированы сильными линиями, были проведены контрольные опыты.

Навеску соскобленной пробы сплавляли с пятикратным избыточным количеством кислого сернокислого калия ( $\text{KHSO}_4$ ) в муфельной печи при температуре  $900$ — $950^\circ$  С. Полученный сплав растворяли в 20%-ной соляной кислоте при нагревании и разбавляли обессоленной водой. Полученный раствор пропускали через хроматографическую колонку, затем с помощью радиохимических методов выделяли смесь изотопов или отдельные изотопы.

Фильтровальную бумагу, смоченную в соответствующие приготовленных растворах, запаивали в полиэтиленовый пакет и определяли  $\gamma$ -спектр пробы.

Спектр обедненной цинком пробы приведен на рис. 2. Из сравнения полученного  $\gamma$ -спектра с первичным (см. рис. 1) видно, что интенсивность фотопика  $\text{Zn}^{65}$  заметно уменьшилась, в связи с чем возрос фотопик  $\text{Co}^{60}$  ( $1,330$  Мэв). Вследствие уменьшения пика аннигиляционного излучения начал проявляться пик в районе  $0,6$  Мэв, являющийся максимумом спектра комптоновских электронов от  $\gamma$ -квантов  $0,835$  Мэв. Как видно из рис. 2, новых линий  $\gamma$ -излучения в спектре не обнаружено.

## Усредненное содержание элементов в отложениях продуктов коррозии на твэле

Таблица 2

Химический состав отложений		Источники происхождения	
Элемент	содержание, вес. %	узлы и оборудование контура	конструкционные материалы
Железо	39,0	Конденсаторы турбины, конденсатный тракт, деаэраторы, тракт питательной воды, паропровод, турбина	Углеродистая сталь (Ст. 3; Ст. 20; Ст. 22 к)
Марганец	5,0	Внутриреакторные поверхности, паропровод до СВД *, коллектор питательной воды, жалюзийные устройства СВД и СНД **, установка для выпаривания, рабочие лопатки турбины, винты СУЗ	Нержавеющая сталь (1X18H9T, и 0X18H10T) и хромистая (1X13 и 3X13) стали;
Никель	0,5		
Хром	0,2		
Медь	35,0	Трубная система конденсаторов турбины и ПНД ***	Латунь (Л-68)
Цинк	20,0		
Кобальт	≤ 0,1	Подпятники питательных насосов, наплавка третьей и четвертой ступени цилиндра низкого давления турбины	Стеллит (45–50% кобальта) и сплав T15K6 (6% кобальта)

\* Сепараторы высокого давления.

\*\* Сепараторы низкого давления.

\*\*\* Подогреватели низкого давления.

Затем из обедненной цинком пробы, полученной в предыдущем контрольном опыте, химическим путем выделялся натрий. Причем  $\gamma$ -спектр пробы, обедненной цинком и натрием, не отличался от  $\gamma$ -спектра пробы, обедненной только цинком. Для проверки присутствия в пробе  $Na^{22}$  и  $Fe^{59}$  были проведены повторные опыты по определению содержания этих изотопов с применением независимых методов. Из рабочей пробы выделялся кобальт. Одновременно с кобальтом был выведен и марганец. Полученный  $\gamma$ -спектр пробы совпадал с  $\gamma$ -спектром чистого  $Zn^{65}$ . Дополнительно был проверен фильтрат тех же проб. Новых линий  $\gamma$ -излучения в спектрах не обнаружено.

Соотношение радиоизотопов в отложениях на твэлах является специфическим для каждой АЭС и зависит от применяемых конструкционных материалов [1].

## Обсуждение результатов измерений

В аликовотных объемах исследованных растворов пяти соколбленных проб были найдены элементы коррозионно-эррозионного происхождения (железо, марганец, хром, никель, медь, цинк) и естественные примеси воды (кальций, магний, кремний).

Из табл. 2 видно, что отложения состоят в основном из соединений железа (39%), меди (35%) и цинка (20%). Значительно меньше в отложениях содержится марганца и совсем мало никеля и хрома. Заметных количеств циркония и ниobia (элементов продуктов кор-

розии материала оболочек твэлов) не обнаружено.

В табл. 3 приведено соотношение активностей продуктов коррозии изотопов  $Zn^{65}$ ,  $Mn^{54}$  и  $Co^{60}$ , рассчитанное на момент остановки реактора. Как указывалось выше, исследуемый твэл находился в бассейне выдержки более 10 месяцев. За это время активность всех других изотопов уменьшилась настолько, что фотопики от их  $\gamma$ -квантов оказались замаскированными значительно более сильными линиями  $\gamma$ -излучения (в основном от  $Zn^{65}$ ). Обращает на себя внимание тот факт, что более 90% активности проб обусловлено  $\gamma$ -излучением  $Zn^{65}$ , который образуется по реакции  $Zn^{64}(n, \gamma)Zn^{65}$  (распространенность 48,89%). На основании этого можно заключить, что в случае одноконтурной схемы, аналогичной АЭС ВК-50, для улучшения радиационной обстановки, по-видимому, не следует применять латунь в качестве конструкционного материала контура.

## Соотношение радиоизотопов в отложениях на твэле (%)

Таблица 3

Радиоизотоп	Относительная активность *
$Mn^{54}$	$2,5 \pm 0,4$
$Zn^{65}$	$92,0 \pm 3,7$
$Co^{60}$	$5,1 \pm 0,4$

\* Средняя из пяти проб.

Изотоп  $Mn^{54}$  в основном образуется по реакции  $(n, p)$  из изотопа  $Fe^{54}$  (его распространенность 5,81%) [2] и значительно меньше по реакции  $(n, 2n)$  из  $Mn^{55}$  (его распространенность 100%). Таким образом, активность  $Mn^{54}$  пропорциональна концентрации продуктов коррозии железа. Изотоп  $Co^{60}$  образуется в основном по реакциям  $Co^{59}(n, \gamma)Co^{60}$  (распространенность 100%) и  $Ni^{60}(n, p)Co^{60}$  (распространенность 26,16%). В связи с тем что кобальт в результате химического анализа в пробах не обнаружен, можно предположить, что в основном изотоп  $Co^{60}$  образуется по второй реакции из никеля.

### Выводы

1. Для АЭС ВК-50 по сравнению с другими АЭС с реакторами кипящего типа характерно высокое содержание в отложениях соединений

меди и цинка, что обусловлено применением латуни в конденсаторе турбины и ПНД, работающих в первом контуре.

2. Основной составляющей отложений на твэле, обуславливающей ~90% долгоживущей радиоактивности, является изотоп  $Zn^{65}$ .

3. Несмотря на весьма малые размеры поверхностей из нержавеющих сталей, в отложениях все-таки обнаружен  $Co^{60}$ .

Поступила в Редакцию 4/V 1972 г.

### ЛИТЕРАТУРА

1. Коррозия конструкционных материалов водоохлаждаемых реакторов. Под ред. В. П. Погодина. М., Атомиздат, 1965.
2. И. П. Селинов. Изотопы (справочные таблицы). М., «Наука», 1970.

### К СВЕДЕНИЮ АВТОРОВ

Авторы, направляющие свои рукописи в журнал «Атомная энергия», должны руководствоваться следующими требованиями.

1. Тексты и иллюстративные материалы представляются в четырех экземплярах в окончательно отработанном для печати виде.

Содержание статьи должно быть изложено с предельной ясностью и краткостью. Следует избегать повторения данных таблиц и графиков, а также представления численных результатов в виде таблиц и графиков одновременно.

2. Объем обзорных статей, как правило, не должен превышать 20–22 стр., оригинальных статей — 10–12 стр., аннотаций депонированных статей — 2 стр., писем в редакцию — 5 стр. машинописного текста (включая рисунки с подписями, таблицы и библиографию).

3. К статьям и письмам в редакцию должны быть приложены рефераты, составленные по правилам реферативных журналов, с четко сформулированной целью и результатами работы.

4. Статьи и рисунки должны быть подписаны всеми авторами. К рукописи необходимо приложить точный адрес, номер телефона, фамилию, полное имя и отчество авторов.

5. Названия всех работ, присылаемых в редакцию, должны быть переведены на английский язык, фамилии и инициалы авторов даны в английской транскрипции. Кроме того, рефераты к статьям должны быть переведены на английский язык (в строгом соответствии с русским рефератом).

6. Цитируемая литература приводится в конце работы общим списком с указанием:

а) для журнальных статей: инициалов и фамилий авторов, названия журнала, номера тома (подчеркнуть)

или выпуск, страницы и года (в круглых скобках);

б) для книг: инициалов и фамилий авторов, полного названия книги, места издания, издательства и года издания; для иностранных книг указываются также данные русского перевода;

в) для статей в сборниках: инициалов и фамилий авторов статьи, названия сборника, инициалов и фамилий составителя или редактора сборника, части, выпуск, места издания, издательства, года и страницы.

Ссылки на опубликованные работы не допускаются.

7. Текст рукописей должен быть напечатан на машинке через два интервала по 28–29 строк на одной стороне листа с полями не уже 4 см; рукописные вставки не допускаются.

8. Оформление текста (написание формул, выделение греческих и латинских, строчных и прописных букв, сокращение слов и т. д.) производится в соответствии с общими правилами, принятыми для научно-технических журналов. Трудно различимые в рукописном обозначении буквы и знаки должны быть пояснены на полях.

9. Прилагаемые к тексту таблицы нумеруются по порядку, каждая таблица должна иметь заголовок.

10. Рисунки выполняются черной тушью на бумаге размером 15 × 20 см; фотографии должны иметь контрастные изображения, размер фотографии 12 × 18 см.

11. Подписи к рисункам прилагаются на отдельном листе. В тексте должны быть ссылки на рисунки.

12. Редакция посыпает автору только одну корректуру, которую необходимо вернуть в предельно короткий срок.

Рукописи, не соответствующие этим требованиям, не рассматриваются. Отклоненные статьи не возвращаются.